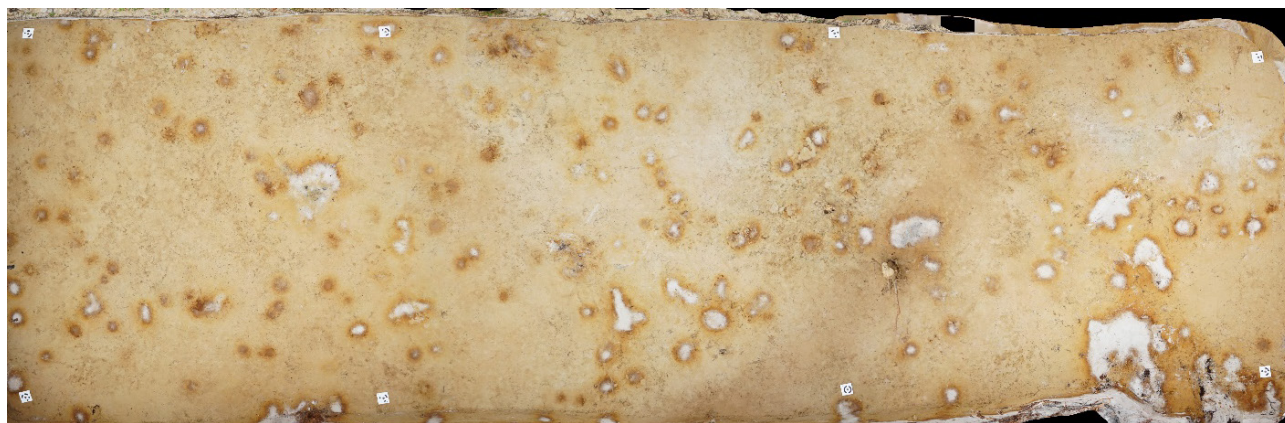


Рис. 1. Пример изученных горизонтальных зачисток профиля подзола иллювиально-железистого на гряде (Траншея К73Р1)
[**Fig. 1.** Example of studied horizontal sections of the Albic Podzol profile on the ridge (Trench K73P1)]



-35 cm



-45 cm



-55 cm

Рис. 1. Продолжение
[Fig. 1. Continuation]

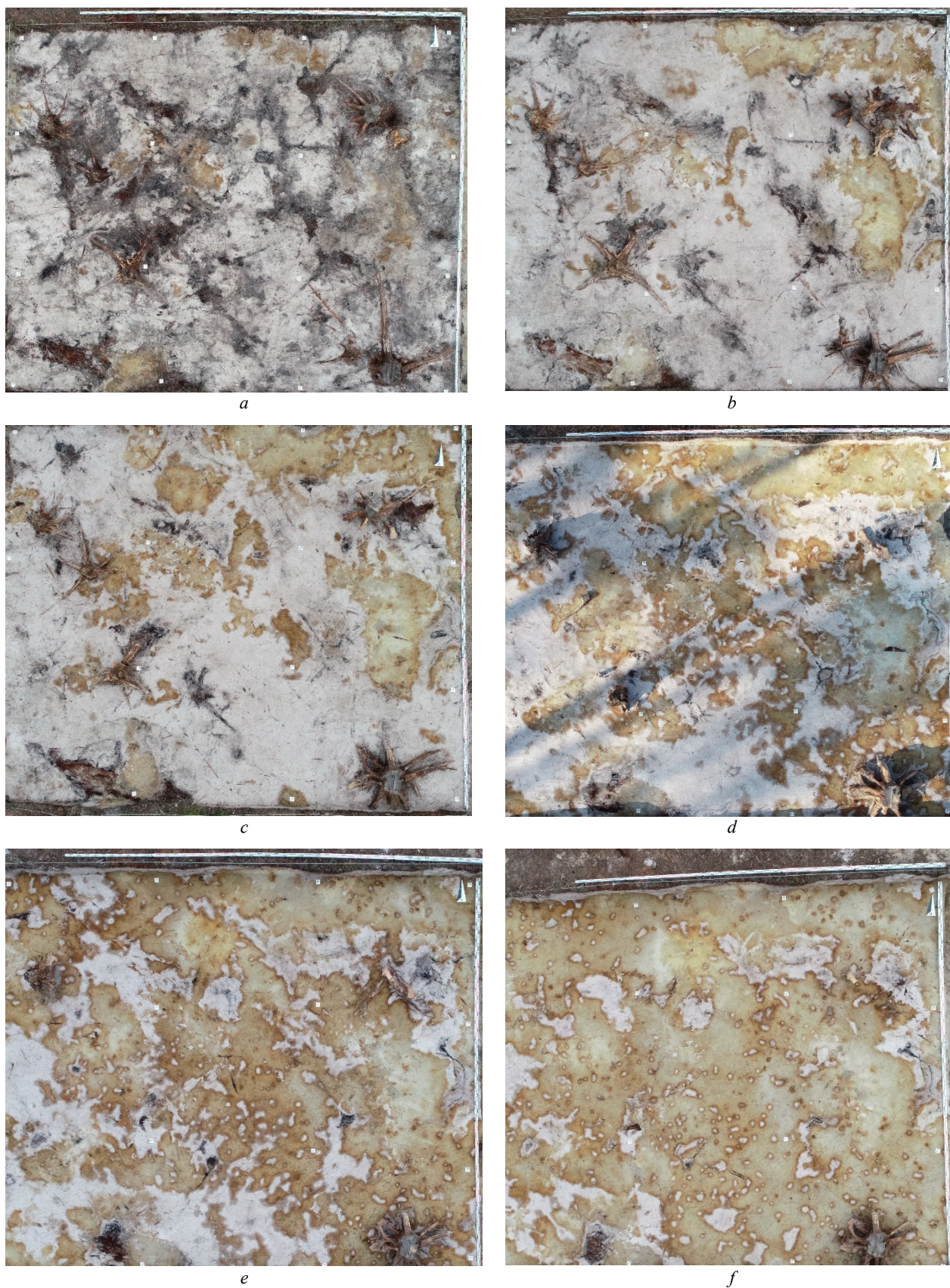
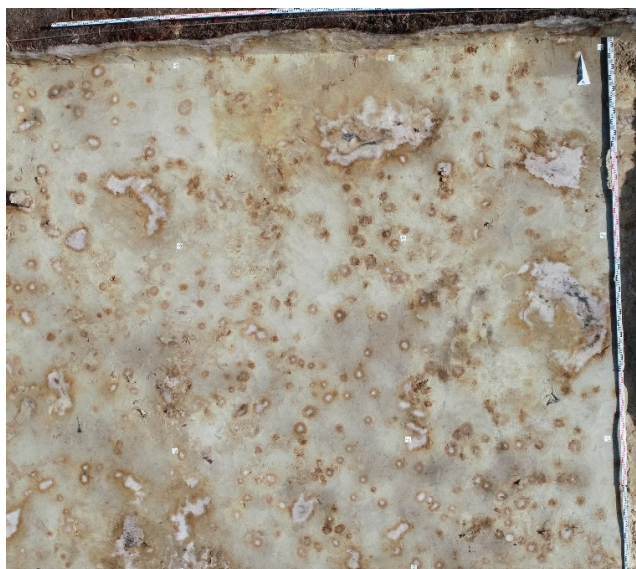


Рис. 2. Пример изученных горизонтальных зачисток профиля подзола иллювиально-железистого глееватого в западине (Селище Кулунигый 5. Раскоп № 4. Сектор 2)

[Fig. 2. An example of studied horizontal sections of the profile of Stagnic Albic Podzol in a depression (Kulunigyi 5 settlement. Excavation No. 4. Sector 2)]



g



h



i



j



k

Рис. 2. Продолжение
[Fig. 2. Continuation]

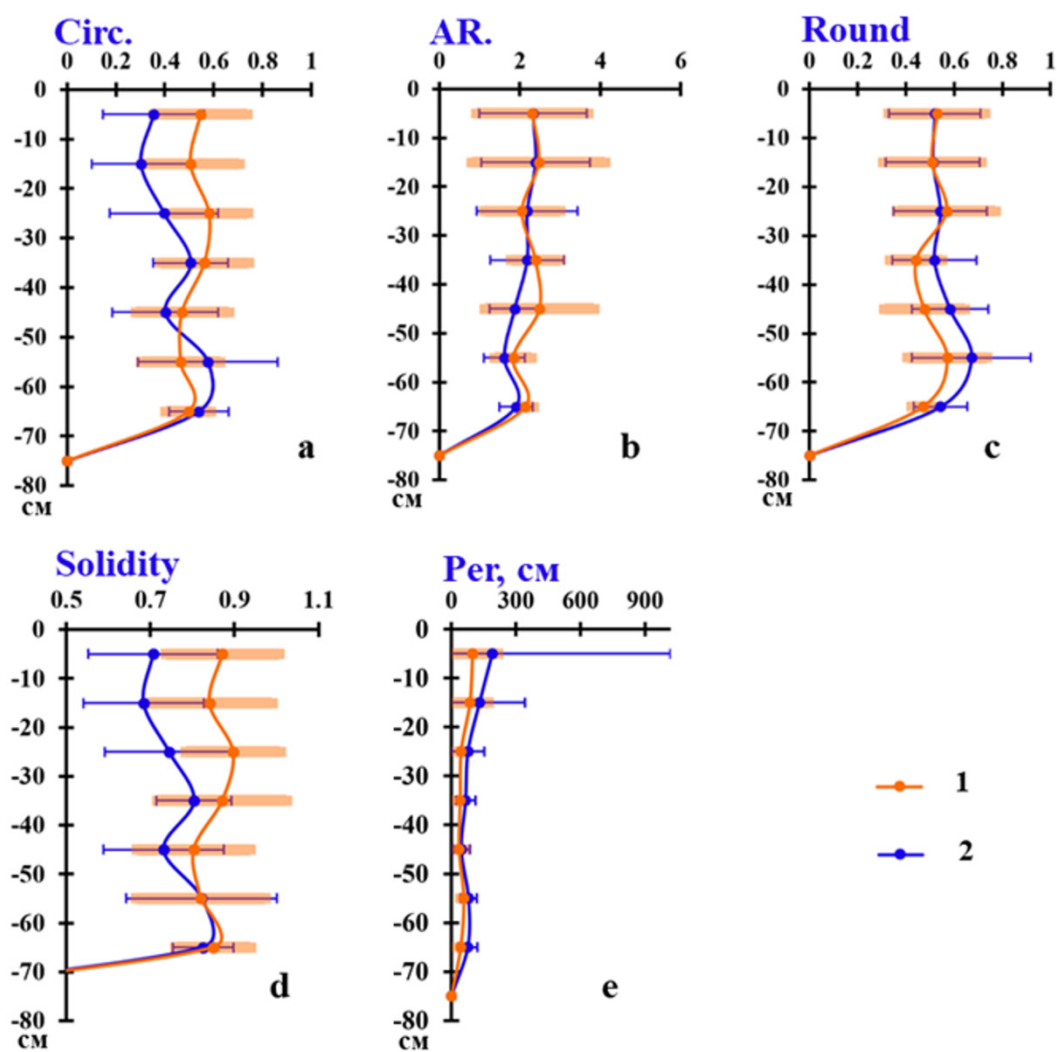


Рис. 3. Варьирование морфометрических показателей морфонов горизонта О: Circ. (a); AR. (b); Round (c); Solidity (d); Per. (e). Для почв гряды (1) и западины (2)
[Fig. 3. Variation of morphometric parameters of O horizon morphons: Circ. (a); AR. (b); Round (c); Solidity (d); Per. (e). For soils of the ridge (1) and depression (2)]

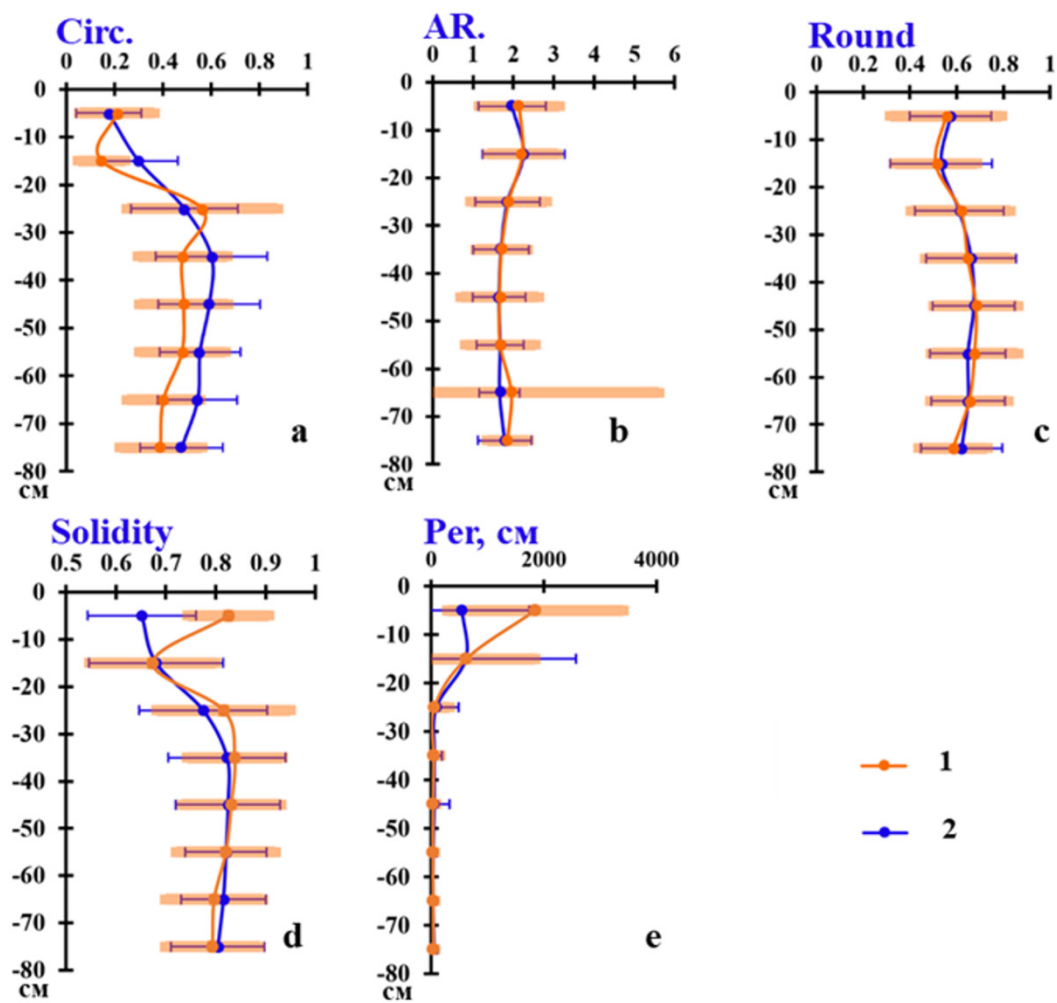


Рис. 4. Варьирование морфометрических показателей морфонов горизонта E: Circ. (a); AR (b); Round (c); Solidity (d); Per. (e). Для почв гряды (1) и западины (2)
[Fig. 4. Variation of morphometric parameters of E horizon morphons: Circ. (a); AR (b); Round (c); Solidity (d); Per (e). For soils of the ridge (1) and depression (2)]

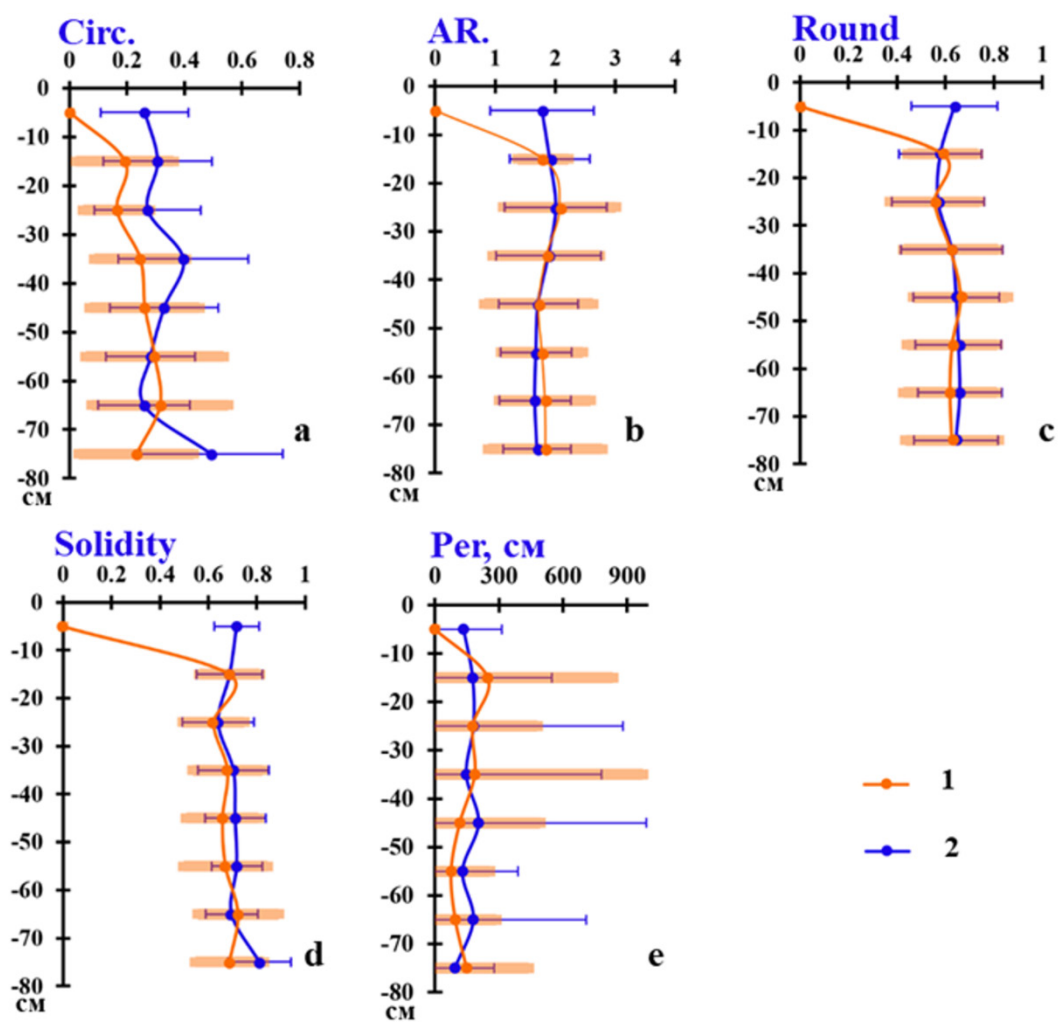


Рис. 5. Варьирование морфометрических показателей морфонов горизонта BF1: Circ. (a); AR (b); Round (c); Solidity (d); Per. (e). Для почв гряды (1) и западины (2)
 [Fig. 5. Variation of morphometric parameters of BF1 horizon morphons: Circ. (a); AR (b); Round (c); Solidity (d); Per. (e). For soils of the ridge (1) and depression (2)]

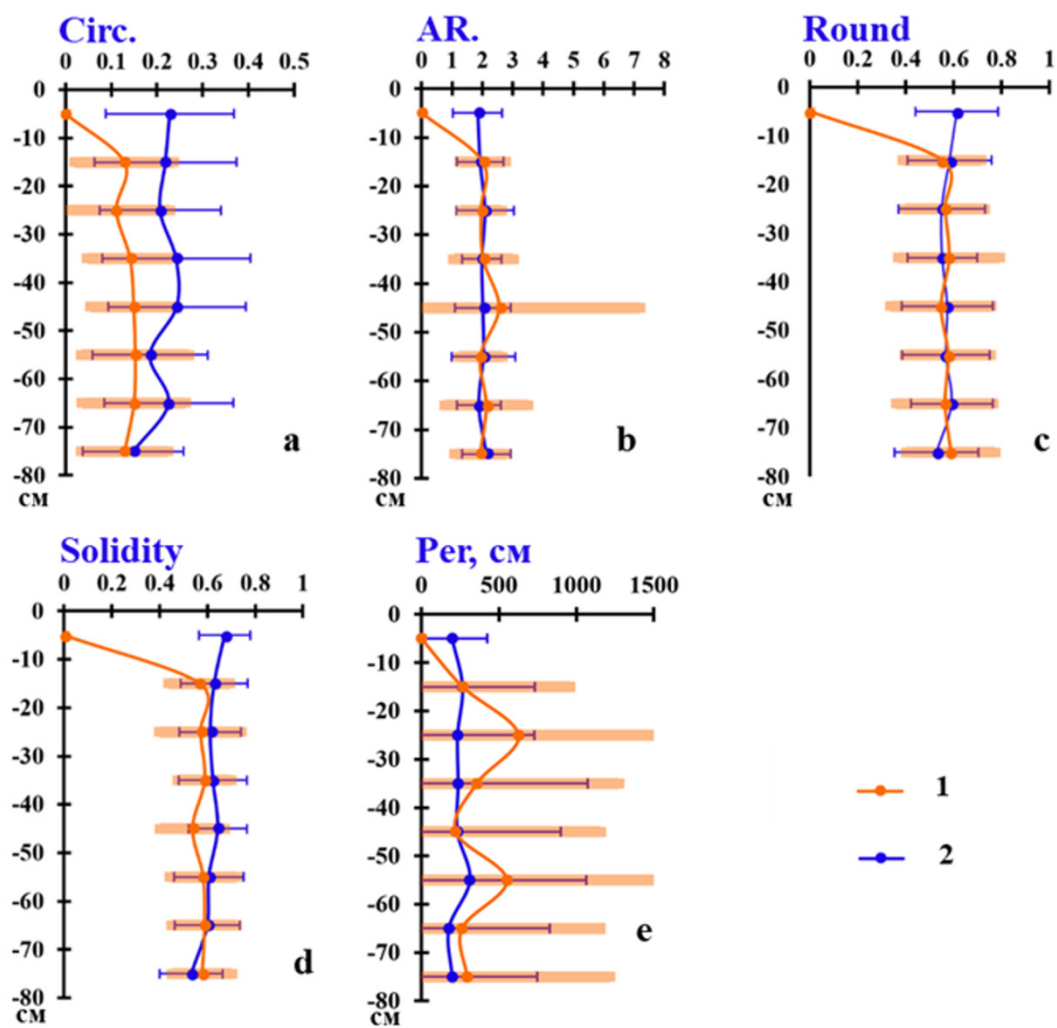


Рис. 6. Варьирование морфометрических показателей морфонов горизонта BF2: Circ. (a); AR (b); Round (c); Solidity (d); Per. (e). Для почв гряды (1) и западины (2)
 [Fig. 6. Variation of morphometric parameters of BF2 horizon morphons: Circ. (a); AR (b); Round (c); Solidity (d); Per. (e). For soils of the ridge (1) and depression (2)]

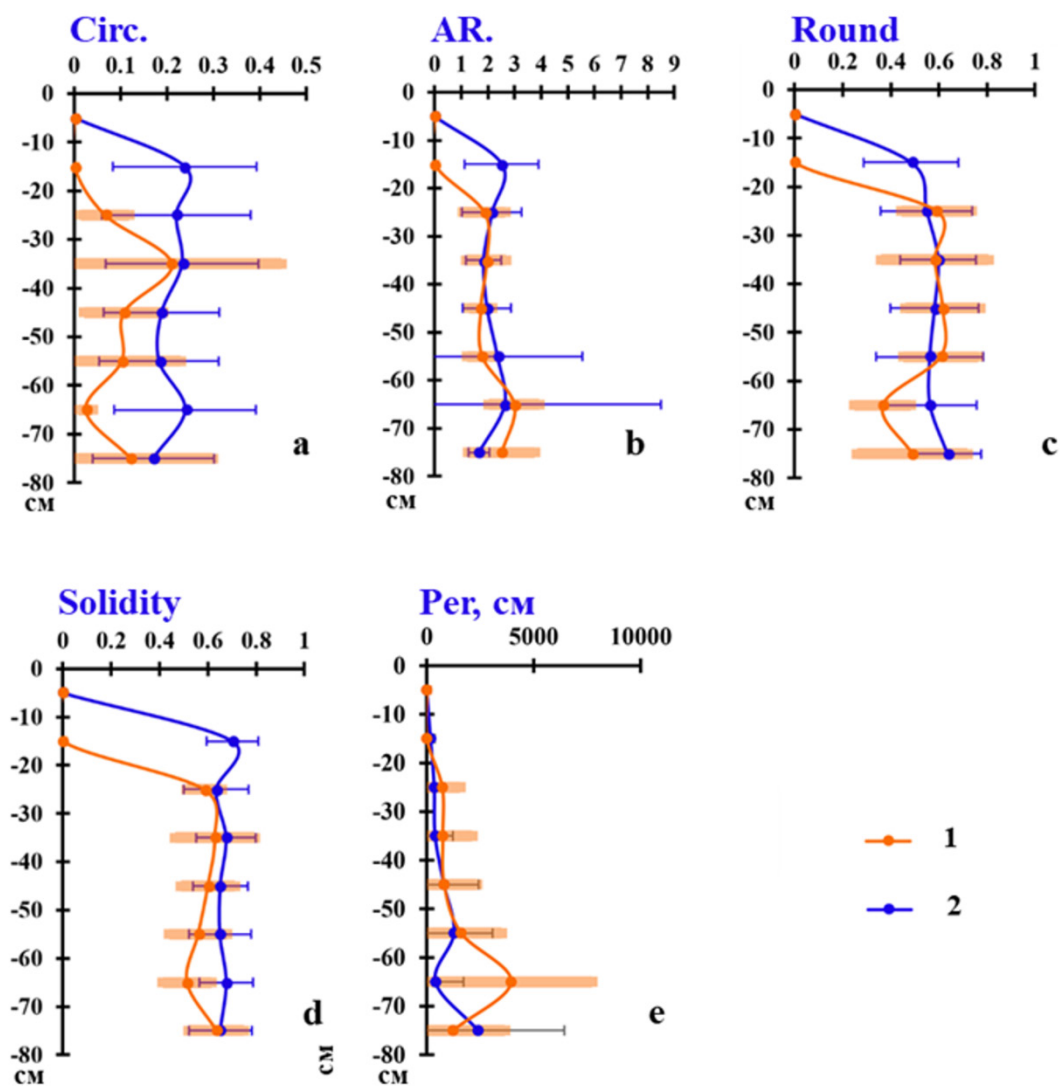


Рис. 7. Варьирование морфометрических показателей морфонов горизонта ВС: Circ. (a); AR (b); Round (c); Solidity (d); Per. (e). Для почв гряды (1) и западины (2)
[Fig. 7. Variation of morphometric parameters of BC horizon morphons: Circ. (a); AR (b); Round (c); Solidity (d); Per. (e). For soils of the ridge (1) and depression (2)]

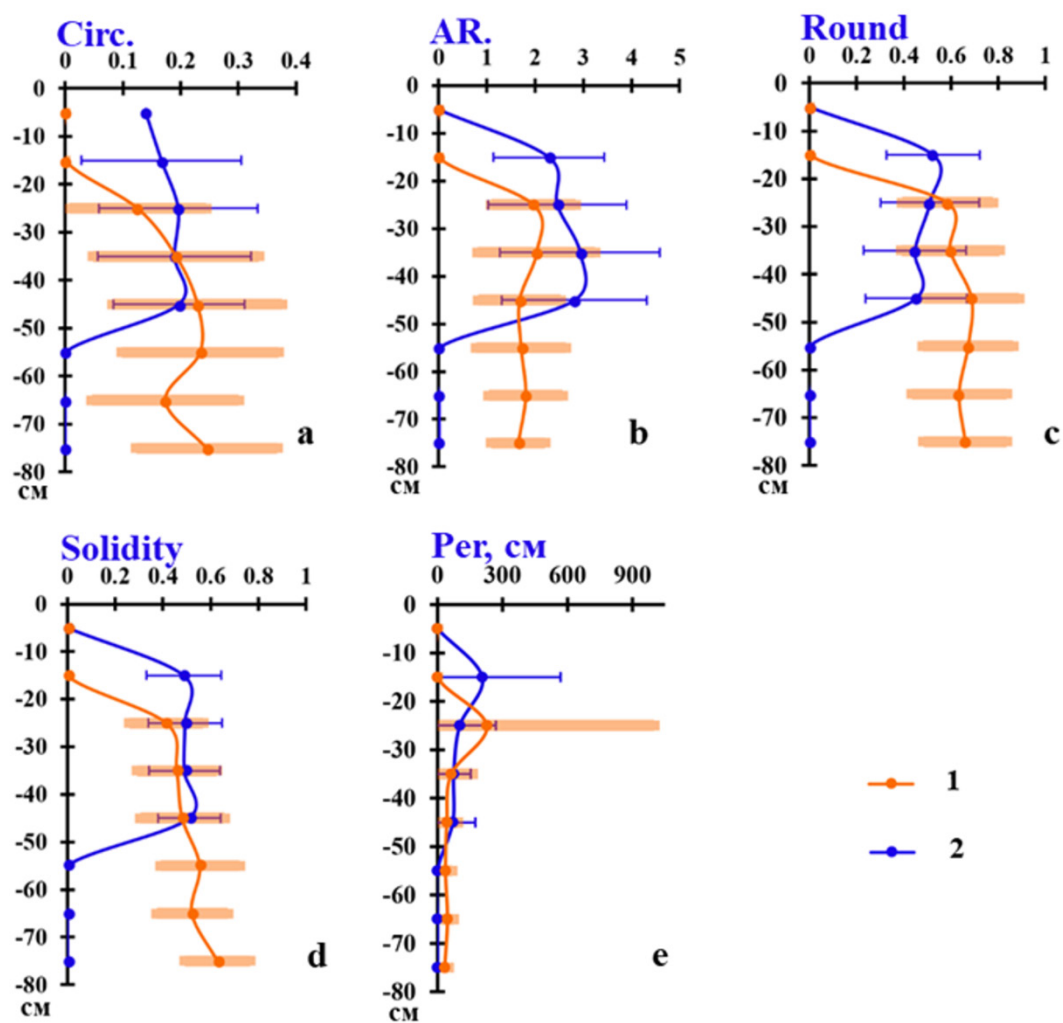


Рис. 8. Варьирование морфометрических показателей морфонов Eh: Circ. (a); AR (b); Round (c); Solidity (d); Per. (e). Для почв гряды (1) и западины (2)
 [Fig. 8. Variation of morphometric parameters of Eh morphons: Circ. (a); AR (b); Round (c); Solidity (d); Per. (e). For soils of the ridge (1) and depression (2)]

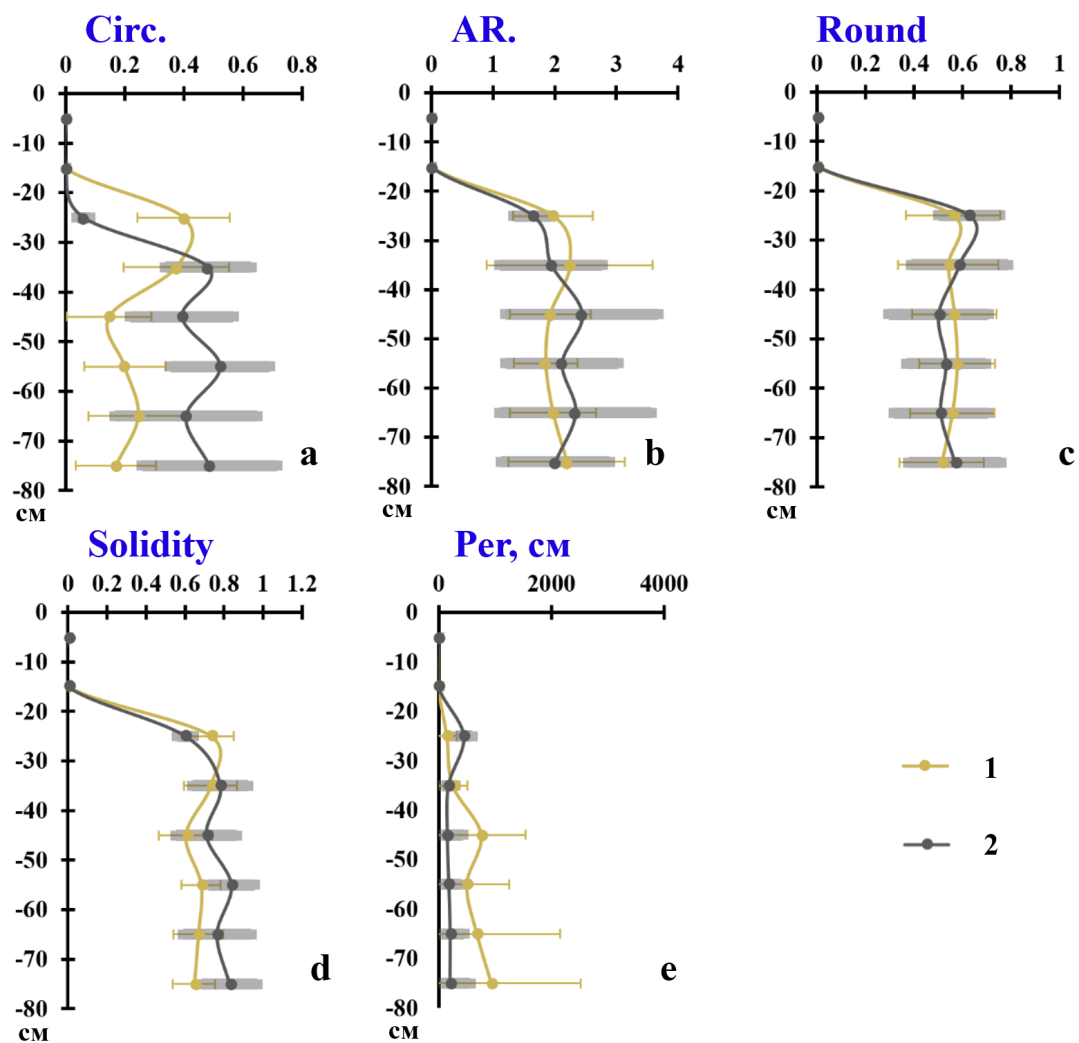


Рис. 9. Варьирование морфометрических параметров морфонов Вох (1) и [AY] (2) в почве западины:
 Circ. (a); AR (b); Round (c); Solidity (d); Per. (e)
 [Fig. 9. Variation of morphometric parameters of Box (1) and [AY] (2) morphons in the soil of the depression:
 Circ. (a); AR (b); Round (c); Solidity (d); Per. (e)]

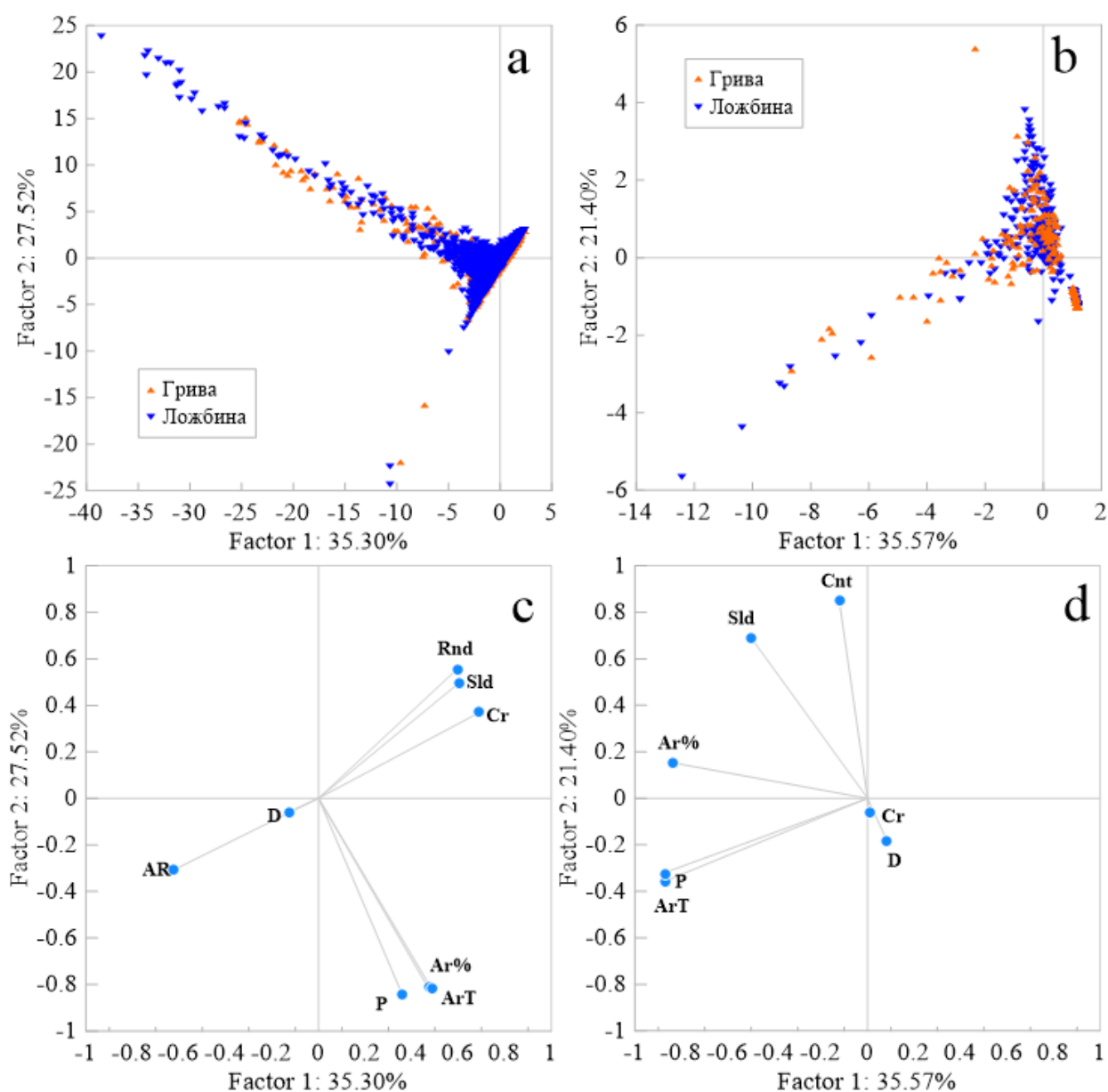


Рис. 10. Анализ методом главных компонент параметров морфонов. *a, c* – данные по всем индивидуальным морфонам; *b, d* – данные по средним значениям параметров морфонов на индивидуальном срезе. Параметры: D – глубина, AR – AR; Rnd – Roundness; Sld – Solidity; Cr – Circularity; Ar% – площадь в % от среза; ArT – площадь в пикселях; P – периметр

[Fig. 10. Principal component analysis of morphon parameters. *a, c* - data for all individual morphons; *b, d* - data on the average values of morphon parameters in an individual section. Parameters: D - depth, AR - AR; Rnd - Roundness; Sld - Solidity; Cr - Circularity; Ar% - area in % of the section; ArT - area in pixels; P - perimeter]

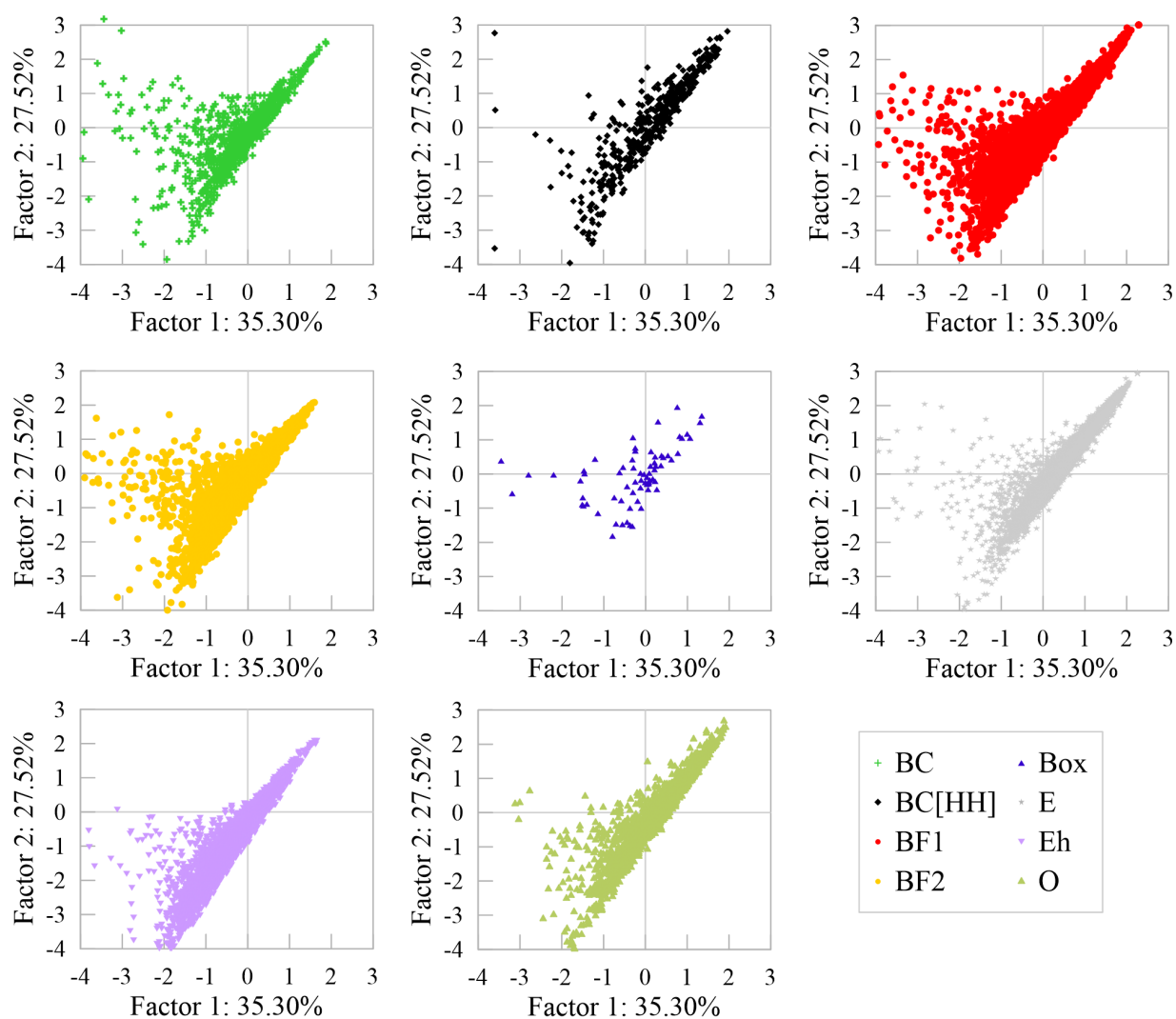


Рис. 11. Распределение горизонтов в пространстве выделенных факторов по всем индивидуальным морфонам
 [Fig. 11. Distribution of horizons in the space of selected factors for all individual morphons]

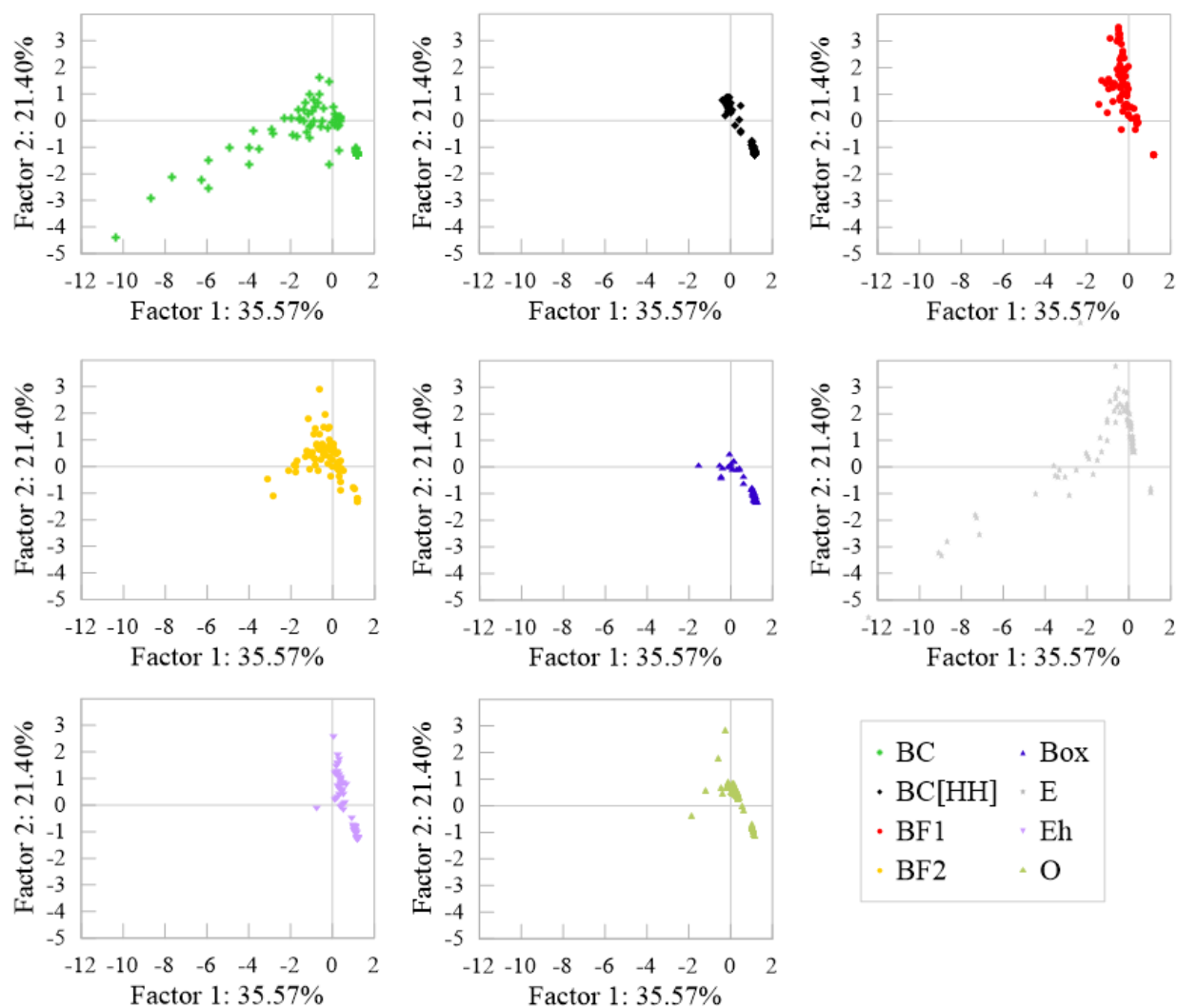


Рис. 12. Распределение горизонтов в пространстве выделенных факторов по средним значениям морфонов, полученным для индивидуальных срезов
 [Fig. 12. Distribution of horizons in the space of selected factors according to the average values of morphons obtained for individual sections]